

С.Н. Харламов

Томский государственный университет, Россия

МОДЕЛИРОВАНИЕ НЕИЗОТЕРМИЧЕСКИХ ТУРБУЛЕНТНЫХ ТЕЧЕНИЙ В ТРУБАХ ПО МОДЕЛЯМ С ТРАНСПОРТНЫМИ УРАВНЕНИЯМИ ДЛЯ МОМЕНТОВ ВТОРОГО ПОРЯДКА

АННОТАЦИЯ

В работе анализируются возможности отдельных версий модели переноса рейнольдсовых напряжений (ПРН-модель) и турбулентных потоков тепла в расчетах развивающихся неизотермических течений. Особое внимание уделяется моделированию низкорейнольдсовой пристеночной области течения и теплообмена во внутренних системах. Отобранные версии: Ханжалика, Симы, Элгобаши, а также предлагаемая в работе ПРН-L- модель отличаются способами аппроксимации членов высшего порядка. Представлены многочисленные сравнения результатов расчета локальных параметров течения и теплообмена с соответствующими экспериментальными данными. Установлено, что характеристики сложного сдвигового течения успешно могут быть предсказаны только на базе моделей, учитывающих анизотропный пристеночный характер процессов турбулентного переноса. Отмечаются достоинства и недостатки ПРН - моделей. Дано объяснение наблюдаемым явлениям в переносе осредненных и пульсационных величин неизотермических течений.

1. ВВЕДЕНИЕ

Анализ структуры турбулентного неизотермического потока в пристеночной зоне представляет собой актуальную задачу не только в случаях специфического течения теплоносителя по длине энергетического устройства, но и в простых канонических движениях. В задачах, связанных с инженерными приложениями в случаях течений с кривизной линий тока, отрывом, ламинаризацией, химическими реакциями, интенсивным теплопереносом и т.д., выбор в пользу моделей переноса рейнольдсовых напряжений с ϵ -базой [1-3] обусловлен потребностью детального расчета "тонкой" структуры сложных сдвиговых потоков. Анализ литературы показывает (например, [4, 5]), что такие версии весьма успешны в предсказании сложных сдвиговых течений, но использование их в практике прикладных расчетов ограничено трудностями реализации в пристеночных областях, связано с отсутствием надежных данных об их возможностях в расчетах течений в широком диапазоне изменений параметров, определяющих течение и теплообмен. Это заставляет вести предварительную работу по оценке пригодности данных моделей к описанию внутренних изотермических и неизотермических течений в трубах и каналах постоянного и переменного поперечного сечения.

Справедливости ради заметим, что в качестве альтернативных к ПРН-моделям, в приложениях используются двухпараметрические модели турбулентности, типа: $k-\epsilon$, $k-L$, $k-\omega$. Однако в отмеченных условиях они работают ограниченно, требуют значительной модификации, что, в целом, говорит о бесперспективности данного подхода.

В связи с вышесказанным в работе поставлены цели:

- 1) адаптировать различные версии моделей рейнольдсовых напряжений к оценке развивающихся изотермических и неизотермических, прямоточных и закрученных турбулентных течений в трубах и каналах постоянного и переменного поперечного сечения;
- 2) утвердиться в достоинствах ПРН-моделей в способности расчета анизотропных пристеночных течений путем сравнения с экспериментальными данными по широкому кругу параметров;
- 3) оценить замыкающие аппроксимации ПРН-моделей, значения ее численных параметров с целью развить форму модели, рекомендуемую к применению в широкой области технических приложений.

2. МАТЕМАТИЧЕСКАЯ МОДЕЛЬ

2.1. Общая система определяющих уравнений

Уравнения, используемые для расчета турбулентного теплообмена в условиях прямоточного и закрученного течения несжимаемой жидкости во внутренних системах, из соображений простоты целесообразно дать в тензорной записи. В этом виде гидродинамическая часть задачи, включающая уравнения неразрывности, движения и ПРН- ϵ - модель турбулентности выглядят следующим образом [1,6]:

$$\frac{\partial U_j}{\partial x_j} = 0; \quad (1)$$

$$U_j \frac{\partial U_i}{\partial x_j} = -\frac{1}{\rho} \frac{\partial p}{\partial x_i} + \frac{1}{\rho} \frac{\partial}{\partial x_j} [\mu (\frac{\partial U_i}{\partial x_j} + \frac{\partial U_j}{\partial x_i}) - \rho \bar{u}_i' \bar{u}_j']; \quad (2)$$

$$U_j \frac{\partial \bar{u}_i' \bar{u}_k'}{\partial x_j} = \frac{\partial}{\partial x_j} [v \frac{\partial \bar{u}_i' \bar{u}_k'}{\partial x_j}] + \frac{\partial}{\partial x_j} [c_s f_\mu \frac{k}{\epsilon} \bar{u}_i' \bar{u}_j' \frac{\partial \bar{u}_i' \bar{u}_k'}{\partial x_i}] + P_{ik} - \frac{2\epsilon}{3k} [(1-f_s) \sigma_{ik} k + \frac{3}{2} (\bar{u}_i' \bar{u}_k') f_s] + R_{ik}; \quad (3)$$

$$U_j \frac{\partial \varepsilon}{\partial x_j} = \frac{\partial}{\partial x_j} [v \frac{\partial \varepsilon}{\partial x_j}] + \frac{\partial}{\partial x_j} [c_s f_\mu \frac{k}{\varepsilon} \bar{u}' u'_j \frac{\partial \varepsilon}{\partial x_i}] + c_{\varepsilon 1} \frac{\varepsilon}{k} P - c_{\varepsilon 2} f_\varepsilon \frac{\varepsilon \tilde{\varepsilon}}{k} + c_{\varepsilon 3} v \frac{k}{\varepsilon} f_\mu \bar{u}' u'_j \frac{\partial^2 U_i}{\partial x_k \partial x_i} \frac{\partial^2 U_i}{\partial x_i \partial x_i}; \quad (4)$$

$$\text{Здесь } P_{ik} = -(\bar{u}' u'_j \frac{\partial U_k}{\partial x_j} + \bar{u}' u'_k \frac{\partial U_i}{\partial x_j}), P = -\bar{u}' u'_i \frac{\partial U_k}{\partial x_i}$$

порождение, R_{ik} - член перераспределения, определяемый согласно предложению по моделированию, $\bar{u}' u'_k$ - напряжения Рейнольдса, (—) - обычное (рейнольдсовое) осреднение по времени, ρ, v - плотность, кинематическая вязкость соответственно, $c_s, c_{\varepsilon 1}, c_{\varepsilon 2}, c_{\varepsilon 3}$ - постоянные модели; f_μ, f_s - демпфирующие функции.

Следует остановиться на некоторых приемлемых и удачных в описание пристеночных течений в каналах подходах, используемых для замыкания уравнений рейнольдсовых напряжений, содержащих неизвестные члены высших порядков: диффузию скорости и давления (D_{ik}), перераспределения (R_{ik}) и диссипации (Γ_{ik}).

M1- модель Ханжалика-Лаундера [1].

Данная модель – обобщенная версия модели [7], рекомендованная для потоков с высокими числами Рейнольдса – имеет следующие представления:

$$R_{ik} = R_{ik,1} + R_{ik,2} + R_{ik,w}, \quad (5)$$

$$R_{ik,1} = -c_1 \frac{\varepsilon}{k} a_{ij}, \quad (6)$$

$$R_{ik,2} = -\frac{(c_2+8)}{11} (P_{ij} - \frac{2}{3} \delta_{ij} P) - \frac{(8c_2-2)}{11} (D_{ij} - \frac{2}{3} \delta_{ij} P) - \frac{(30c_2-2)}{55} k (\frac{\partial U_i}{\partial x_j} + \frac{\partial U_j}{\partial x_i}); \quad (7)$$

$$R_{ik,w} = [c_3 \frac{\Gamma}{k} a_{ij} + c_4 (P_{ij} - D_{ij})] f_w (\frac{l}{x_n}), \quad (8)$$

где x_n - расстояние от стенки,

$$f_w = \frac{k^{1.5}}{\varepsilon x_n}, c_1 = 1.5, c_2 = 0.4, c_3 = 0.125, c_4 = 0.015,$$

$$a_{ij} = \bar{u}' u'_j - \frac{2}{3} \delta_{ij} k, D_{ij} = -(\bar{u}' u'_k \frac{\partial U_k}{\partial x_j} + \bar{u}' u'_k \frac{\partial U_i}{\partial x_i}).$$

Для диссипативного уравнения принято:

$$f_s = (1 + 0.1 Re_t)^{-1}, Re_t = \frac{k^2}{\nu e}, c_e = 0.15, c_{\varepsilon 1} = 1.275, c_{\varepsilon 2} = 1.8, c_{\varepsilon 3} = 2.0, \quad (9)$$

$$\tilde{\varepsilon} = \varepsilon - 2v \left(\frac{\partial \sqrt{k}}{\partial x_i} \right)^2, f_\varepsilon = 1.0 - \left(\frac{0.4}{1.8} \exp(-\frac{Re_t^2}{36}) \right), f_\mu = \exp(-\frac{3.4}{(1+Re_t/50)^2}).$$

В настоящей работе, основываясь на идеи [8], турбулентная диффузия в M1 упрощена и отвечает виду, представленному в (3) ($c_s = 0.22$).

M2- модель Сима [2].

С целью улучшения возможностей M1 в предлагаемой модели модифицирована постоянная c_1 в (6):

$$R_{ik,1} = -c_1^* \frac{\varepsilon}{k} a_{ij}, c_1^* = c_1 [1 - (1 - \frac{1}{c_1}) f_w], f_w = \exp[-(c_w Re_{ts})^4], \quad (10)$$

$$\text{где } c_w = 0.015, Re_{ts} = \frac{\sqrt{k} x_n}{v}.$$

Член “быстрых изменений” $R_{ij,2}$ оставлен согласно (7). Член, определяющий влияние стенки на перераспределение определяется следующим образом:

$$R_{ij,w} = [c_{s1} (P_g - \frac{2}{3} \delta_{ij} P) + c_{s2} k (\frac{\partial U_i}{\partial x_j} + \frac{\partial U_j}{\partial x_i})] f_w,$$

$$\text{где } c_{s1} = 0.45, c_{s2} = 0.08.$$

Моделирование турбулентной диффузии представляется согласно [1] ($c_s = 0.11$). В качестве замыкающего уравнения в M2 используется уравнение (4) вида:

$$U_j \frac{\partial \varepsilon}{\partial x_j} = \frac{\partial}{\partial x_j} (v \frac{\partial \varepsilon}{\partial x_j}) + \frac{\partial}{\partial x_j} (c_s \frac{k}{\varepsilon} \bar{u}' u'_j \frac{\partial \varepsilon}{\partial x_i}) + c_{\varepsilon 1} (1 + c_{\varepsilon 3} f_w) \frac{\varepsilon}{k} P - c_{\varepsilon 2} f_\varepsilon \frac{\varepsilon \tilde{\varepsilon}}{k} + [(-2 + \frac{7}{9} c_{\varepsilon 2}) \frac{\varepsilon \tilde{\varepsilon}}{k} - \frac{\tilde{\varepsilon}^2}{2k}] f_w, \quad (12)$$

$$c_e = 0.15, c_{\varepsilon 1} = 1.8, c_{\varepsilon 2} = 1.3, c_{\varepsilon 3} = 1.0, f_\varepsilon = 1 - 0.2 \exp(-0.0028 Re_t), \\ \tilde{\varepsilon} = \varepsilon - v \frac{\partial^2 k}{\partial x_i^2}.$$

M3-модель Элгобаши [3].

Здесь диффузия турбулентности определяется по [8] ($c_s = 0.22$). При аппроксимации ε_{ij} особенности реального поведения нормальных напряжений учитываются видом:

$$\varepsilon_{ij} = \frac{2}{3} \varepsilon \delta_{ij} + \bar{u}' u'_j \frac{\varepsilon}{k} f_s (1 - \delta_{ij}). \quad (13)$$

ε-уравнение в M3 имеет вид (4) со следующими постоянными и демпфирующими функциями:

$$c_e = 0.15, c_{\varepsilon 1} = 1.45, c_{\varepsilon 2} = 1.9, c_{\varepsilon 3} = 2.0, f_\varepsilon = 1 - a_1 \exp(-a_2 Re_t^2), \\ a_1 = 1 - \frac{1.4}{c_{\varepsilon 2}}, a_2 = 0.028.$$

Моделирование перераспределяющего члена выполнено аналогично (5)-(8), где для $R_{ij,w}$ принято

$$c_3 = 0, c_4 \approx 0.123, c_5 = 0.003 f_\mu = \exp(c_5 Re_t).$$

В случае ПРН-L- модели уравнения (1) – (3) дополняются еще уравнениями для кинетической энергии турбулентности k и интегрального масштаба турбулентных пульсаций L :

$$U_j \frac{\partial k}{\partial x_j} = \frac{\partial}{\partial x_j} (v \frac{\partial k}{\partial x_j}) + \frac{\partial}{\partial x_j} [c_s f_\mu \frac{L}{\sqrt{k}} \bar{u}' u'_j \frac{\partial k}{\partial x_i}] + P - c_{L1} \frac{k^{1.5}}{L} \\ U_j \frac{\partial L}{\partial x_j} = \frac{\partial}{\partial x_j} [v \frac{\partial L}{\partial x_j}] + \frac{\partial}{\partial x_j} [c_s f_\mu \frac{L}{\sqrt{k}} \bar{u}' u'_j \frac{\partial L}{\partial x_i}] + \\ \left(c'_{L1} \frac{L}{k} P^{(r)} + c''_{L1} \frac{L}{k} P^{(i)} \right) + c_{L1} c_{L2} k^{0.5} \left(1 - \frac{L^2}{s^2} \right), \quad (15)$$

где $P = P^{(r)} + P^{(i)}$; $P^{(r)}, P^{(i)}$ - касательная и нормальная составляющая P .

Тепловую часть рассматриваемой задачи составляют уравнения: энергии; транспортные уравнения турбулентного потока тепла $\bar{u}' t'$, которые с учетом разномасштабности процессов диссипации флок-

туаций скорости и температуры замыкаются балансовыми уравнениями автокорреляций пульсаций t'^2 и ее скорости диссипации ε_t (для простоты записи тепловая часть постановки задачи также представлена в тензорной форме):

$$U_j \frac{\partial T}{\partial x_j} = a \frac{\partial^2 T}{\partial x_j^2} - \frac{\partial(\bar{u}' t')}{\partial x_j}, \quad (16)$$

$$\begin{aligned} U_k \frac{\partial \bar{u}' t'}{\partial x_k} = & \frac{\partial}{\partial x_k} \left[(v + \frac{(a-v)}{(n+2)} \frac{\partial \bar{u}' t'}{\partial x_k}) \right] + \frac{\partial}{\partial x_k} \left[c_{st} f_{st} \frac{k}{\varepsilon} (\bar{u}' u'_k \frac{\partial \bar{u}' t'}{\partial x_k} + \bar{u}' u'_k \frac{\partial \bar{u}' t'}{\partial x_l}) \right] \\ & - \{ \bar{u}' u'_k \frac{\partial T}{\partial x_k} + \bar{u}' u'_k \frac{\partial U_i}{\partial x_k} \} - (1 - f_{st}) c_{st} \left(\frac{\varepsilon}{k} \bar{u}' t' + c_{2t} \bar{u}' t' \frac{\partial U_i}{\partial x_k} \right) - \\ & [c_{lw} f_{wt} + f_{st} n_k n_l] \left(\frac{\varepsilon}{k} \bar{u}' t' - f_{st} f(\Pr) \left(\frac{\varepsilon}{k} \right) [\bar{u}' t' + \bar{u}' t' n_k n_l] \right]; \quad (17) \end{aligned}$$

$$U_i \frac{\partial \bar{t}'^2}{\partial x_i} = \frac{\partial}{\partial x_i} \left[a \frac{\partial \bar{t}'^2}{\partial x_i} \right] + \frac{\partial}{\partial x_i} \left[c'_{st} \frac{k}{\varepsilon} f_{st} \bar{u}' u'_k \frac{\partial \bar{t}'^2}{\partial x_k} \right] - \bar{u}' t' \frac{\partial T}{\partial x_i} - \varepsilon_t; \quad (18)$$

$$\begin{aligned} U_j \frac{\partial \varepsilon_t}{\partial x_j} = & \frac{\partial}{\partial x_j} (a \frac{\partial \varepsilon_t}{\partial x_j}) + \frac{\partial}{\partial x_j} \left[c'_{st} \frac{k}{\varepsilon} f_{st} \bar{u}' u'_k \frac{\partial \varepsilon_t}{\partial x_k} \right] - c_{\varepsilon T1} \frac{\varepsilon_t}{t'^2} \bar{u}' t' \frac{\partial T}{\partial x_j} - \\ & c_{\varepsilon T2} \frac{\varepsilon_t}{k} \bar{u}' u'_k \frac{\partial U_j}{\partial x_k} - c_{\varepsilon T3} \frac{\varepsilon_t^2}{t'^2} - c_{\varepsilon T4} \left(\frac{\varepsilon}{k} \right) \varepsilon_t. \quad (19) \end{aligned}$$

2.2. Границные условия и численный метод решения

Численное интегрирование системы (1) - (19) осуществлялось на неравномерных сетках со сгущением узлов у стенки с использованием метода установления, экономичных неявных конечно-разностных схем, имеющих второй порядок точности как по продольной, так и по поперечной координатам с привлечением схем расщепления и метода прогонки. Алгоритм определения поля давления описан в [9].

Краевые условия состоят в задании:

на входе (при $x=x_0$) - $U=U_0$, $V=0$, $k=k_0$, $L=L_0$,

$$\bar{u}'^2 = a_1 k, \text{ где } a_1 = 0,96, a_2 = 0,48, a_3 = 0,56;$$

$$\bar{u}' v' = \bar{v}' w' = \bar{u}' w' = 0, T=T_0,$$

$$\sqrt{t'^2} = 0, \bar{u}' t' = \bar{v}' t' = \bar{w}' t' = 0, \varepsilon_t = 0,$$

$$L_0 = (0,1 \div 0,3) \cdot R, k_0 = \frac{3}{2} T u_0 U_0^2, T u_0 = 0,1\% \div 1\%. \quad (20)$$

на выходе (при $x=x_k$): $\frac{\partial \varphi}{\partial x} = 0$, где

$$\varphi = U, L, k, T, \bar{u}' u'_j, \bar{u}' t', \sqrt{t'^2}, \varepsilon_t (i, j = 1, 3). \quad (21)$$

На плоскости симметрии (при $y=0$): $\frac{\partial \varphi}{\partial y} = 0$, где

$\varphi = U, L, k, T, \bar{t}'^2, \bar{u}' t', \varepsilon_t, \bar{u}'^2, \bar{v}'^2, \bar{w}'^2$. А также

$$\bar{u}' v' = \bar{v}' w' = \bar{u}' w' = \bar{v}' t' = \bar{w}' t' = 0. \quad (22)$$

На стенке ($y=h(x)$): $U=V=k=L=\bar{u}' u'_j=0$. $T=T_w$

$$\bar{u}' t' = 0; \sqrt{t'^2} = 0, \varepsilon_t = 0. \quad (23)$$

3. РЕЗУЛЬТАТЫ РАСЧЕТА

3.1. Данные тестирования моделей

Сравнение результатов расчета отдельных "тонких" параметров течения с опытными данными (например, [9, 10]) в развивающихся потоках в круглых цилиндрических трубах представлено на рис.1(а-г).

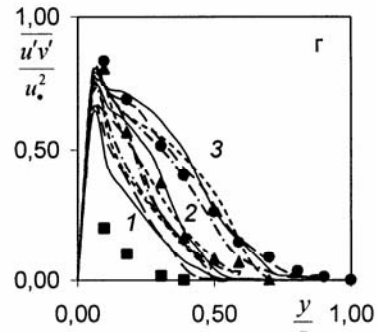
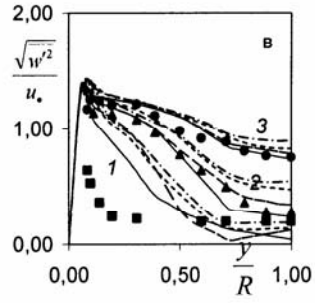
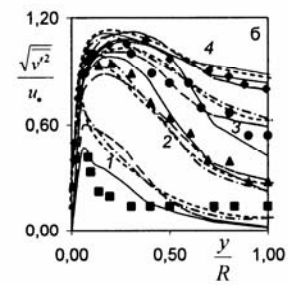
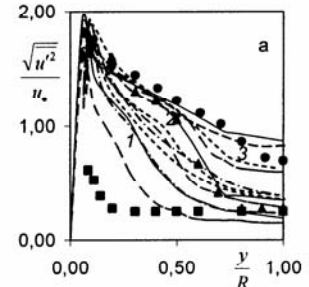


Рис.1. Радиальные распределения рейнольдсовских напряжений во входной области. Здесь линия - расчет [обозначения (—) - ПРН-L, (—) - М1, (- - -) - М2, (---) - М3-модели], значки – данные[10]: 1- $x/D=20$ (■), 2-30 (▲),

3-50 (●), 4-150 (◆); а – пульсация осевой скорости, б – нормальной, в – тангенциальной компонент; г – касательного напряжения.

Данные расчета показывают, что все модели удовлетворительно описывают течение в области $x/D \geq 30$, однако непосредственно во входной зоне имеется рассогласование. Это связано с ограниченностью экспериментальных данных - отсутствуют значения ε , k , $u'_i u'_j$ на входе. Кроме того из рис.1 следует, что предпочтительнее выглядят модели ПРН-L, ПРН- ε (М3). М1 весьма грубо в определении нормальных компонент у стенки (особенно для u'^2). М2 занижает большой максимум на участке стабилизированного течения на 12%, завышает максимум v'^2 на 40% относительно данных Лауфера. Отклонение М3 в значениях u'^2 порядка 8%. Использование L-уравнения в ПРН-модели позволяет наиболее точно раскрыть пристеночную узкую зону течения.

Из результатов следует, что отличие моделей в ядре канала незначительно. Это говорит о слабом влиянии способа аппроксимации $R_{ij,2}$ в данных моделях. У стенки М2, М3 близки, поэтому аппроксимация $R_{ij,w}$ в таких моделях достаточно успешна в описании прямоточных течений. В сравнении с ПРН-L моделью все модели с ε -уравнением имеют недостаток в оценке u'^2 . Последняя характеристика имеет определяющее значение в пристенном распределении кинетической энергии турбулентности. Более точное описание узкой пристенной зоны на базе ПРН- ε модели должно быть связано с поиском лучших аппроксимаций членов диффузии и перераспределения. Модель Элгобаши имеет преимущества в корректности учета анизотропии течения и эффектов, связанных с малыми числами Рейнольдса. Однако численный алгоритм в этом случае является неэкономичным. Алгоритм, построенный на базе ПРН-L модели, требует на 50% меньше времени в сравнении с остальными при получении уставновившегося решения.

В канале со скачком сечения ПРН – L-модель тестировалась на экспериментах П.П. Земаника, Р.С. Дугала [11] и показала удовлетворительное предсказание максимальных значений чисел Nu , характеризующих область присоединения ($x/H \approx 8 \div 10$), а также подстройку тепловой структуры к значениям полностью развитого течения в канале, приводящую к монотонному убыванию Nu/Nu_∞ за точкой присоединения.

6. ЗАКЛЮЧЕНИЕ

Расчеты показывают, что особенности данных течений достаточно корректно можно прогнозировать на основе модели “ПРН-L”, учитывающих анизотропный характер турбулентности непосредст-

венно у стенки и позволяющих воспроизводить эффекты смещения зон экстремальной интенсивности пульсаций вглубь потока, распада энергосодержащих вихрей и их восстановление, а также элементы перемежаемости движения.

СПИСОК ОБОЗНАЧЕНИЙ

M — модель;
ПРН- ε — сокращенное название модели переноса реинольдсовских напряжений с опорной базой, включающей транспортное ε -уравнение;

ε — скорость диссипации кинетической энергии турбулентности, $\text{м}^2/\text{с}^3$;

p — давление, $\text{Н}/\text{м}^2$;

U, T — соответственно осредненные по Рейнольдсу компоненты вектора скорости, $\text{м}/\text{с}$ и температура, К ;

u^* — динамическая скорость, $\text{м}/\text{с}$;

$\sqrt{u'^2}/u^*, \sqrt{v'^2}/u^*, \sqrt{w'^2}/u^*, \bar{u}'\bar{v}'/\bar{u}^2$ — безразмерные значения нормальных компонент тензора реинольдсовских напряжений в осевом, радиальном и тангенциальном направлениях, а также касательного напряжения соответственно;

Индексы:

i, j — порядковый номер орта системы координат.

СПИСОК ЛИТЕРАТУРЫ

1. Hanjalic K., Launder B.E. Contribution towards a Reynolds-Stress Closure for Low-Reynolds-Number Turbulence// Journal of Fluid Mechanics. 1976. V.74. P.593-610.
2. Сима Н. Модель напряжений Рейнольдса для течения в пристеночных областях с низкими числами Рейнольдса // Теоретические основы инженерных расчетов. 1988. №4. С.241-251.
3. Prud'homme M., Elghobashi S. Prediction of Wall-Bounded Turbulent Flows with an Improved Version of a Reynolds-Stress Model // Proceedings 4th Symposium on Turbulent Shear Flows, Karlsruhe. P. 1.7-1.12
4. Ту́рбулентные сдвиговые течения / Под ред. Ф. Дурста и др. М.: Машиностроение. 1982. 432с.
5. Launder B.E., Morse A. Numerical Prediction of Axi-symmetric Free Shear Flows with a Second –order Reynolds Stress Turbulence Closure / Turbulent Shear Flow. 1979. V.1. P.279-294.
6. Лойцянский Л.Г. Механика жидкости и газа. М.: Наука. Гл. ред. физ.-мат. л. 1987. 840с.
7. Launder B.E., Reece G.J., Rodi W. Progress in the Development of a Reynolds-Stress Turbulence Closure // Journal of Fluid Mechanics. 1975. V.68. P.573-566.
8. Daly B.J., Harlow F.H. Transport Equations of Turbulence// Physics of Fluids. 1970. V. 13. P.2634-2649.
9. Бубенчиков А.М., Харламов С.Н. Математические модели неоднородной анизотропной турбулентности во внутренних течениях. Томск: Изд-во ТГУ, 2001. 447с.
10. Веске Д.Р., Стров Г.Е. Экспериментальное исследование турбулентного закрученного течения в цилиндрической трубе // Известия СО АН СССР. Серия технических наук. 1972. Вып.3. №13. С.3-7.
11. Земаник П.П., Дугалл Р.С. Местный теплообмен за участком резкого расширения круглого канала // Теплопередача. 1970. №1. с.54-64.